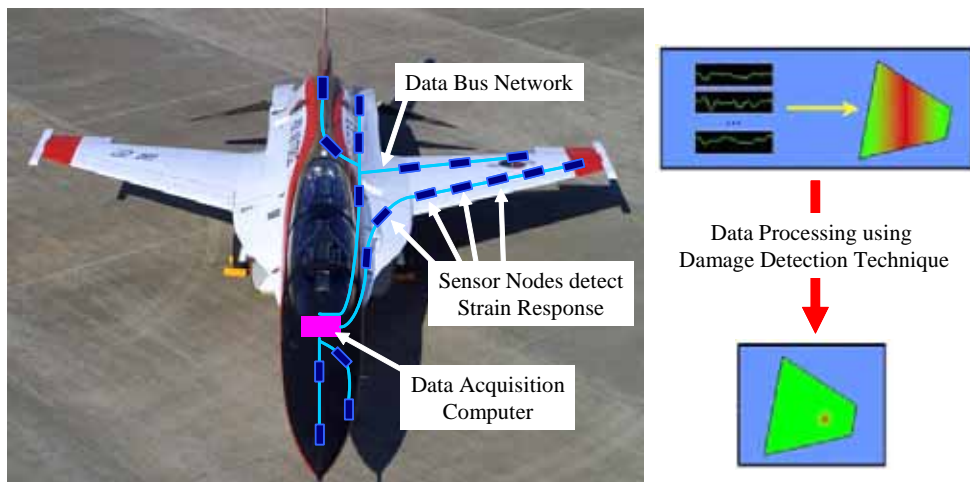


**Damage Detection Techniques of  
Composite Laminates  
with Embedded Fiber Bragg Grating sensors**

# 1.

가 가  
가  
가  
가 (Damage Tolerance Design)  
가 (structural health monitoring)  
가  
가 가 [1-3].



1

1

가

가

가

2

30

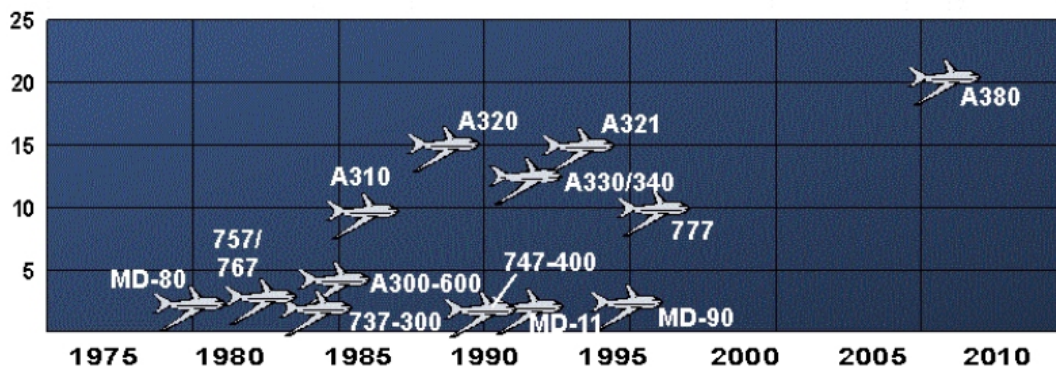
가  
Boeing

[4]. Airbus A380  
Dreamliner 7E7 50%  
[5-6].

A380  
/

25%

Composites % of Structural Weight

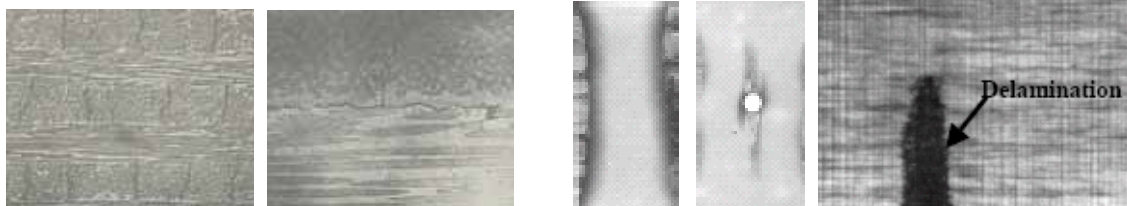


2 30

가

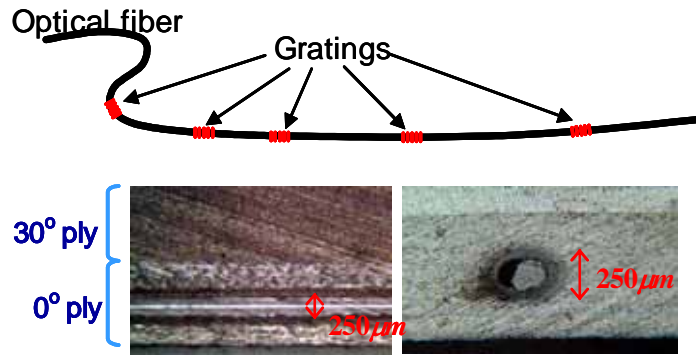
3

X-ray



3

X-ray



4 가 FBG

가 가 [7-9].

[10-12]. 4 가 (FBG, fiber Bragg grating)

가 . 1 가 가 (b) 가 가 ; (c) ; (d) ; (e)

[15] Todd

, Leng [16] EFPI, FBG

가 [17]

1/25 (fluttering) . Okabe [18] FBG

(SPA, Systems Planning and Analysis, inc.) (NRL, Naval Research Laboratory)

Interrogation System)  
 , 2pm(1.65μ€)

HS-FOIS(High Speed Fiber Optic  
 3.5kHz , 960  
 가  
 [19].

가

가

2.

(FBG, fiber Bragg grating)

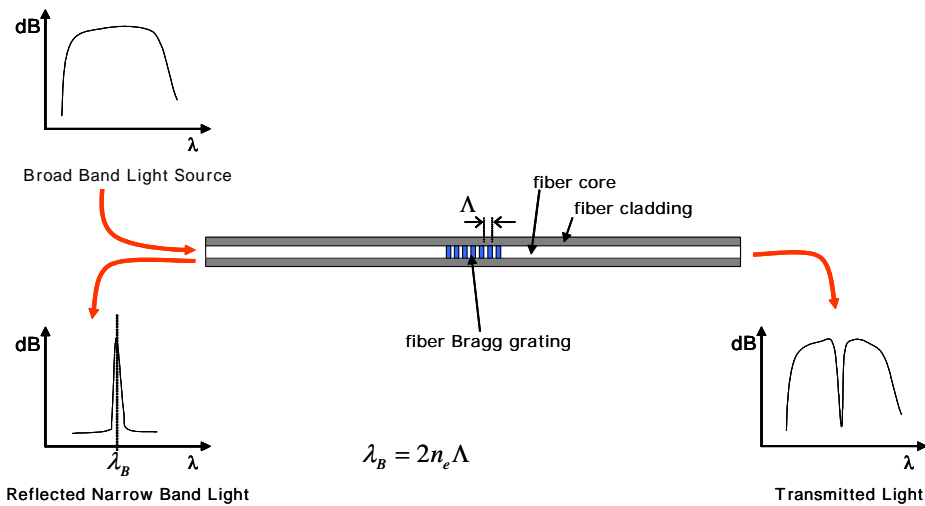
가

가

가

가

5



5

(Bragg wavelength)

1

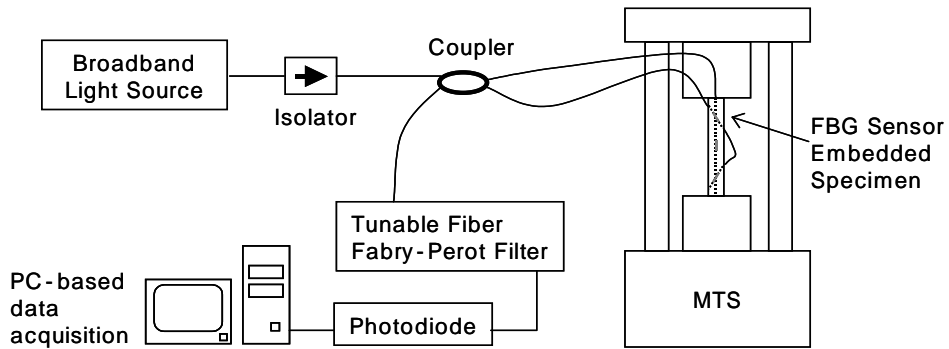
$$\lambda_B = 2n_e \Lambda$$

1

$\lambda_B$  :  
 $n_e$  :  
 $\Lambda$  :

가  $\Lambda$

$\lambda_B$   
6 , SLD(super-luminescent diode)  
(coupler)  
(coupler)  
(Fabry-Perot) (photodetector)  
가 (isolator)



6

2

$$\varepsilon = \frac{1}{1-p_e} \frac{\Delta\lambda_B}{\lambda_B}$$

2

가

(Fabry-Perot filter)

3

$$\varepsilon = \frac{1}{1-p_e} \frac{\Delta\lambda_B}{\lambda_B} = \frac{1}{1-p_e} \frac{1}{\lambda_B} \frac{\Delta\lambda_B}{\Delta V} \Delta V = C \frac{1}{\lambda_B} \Delta V \quad 3$$

C

가

C

C

7

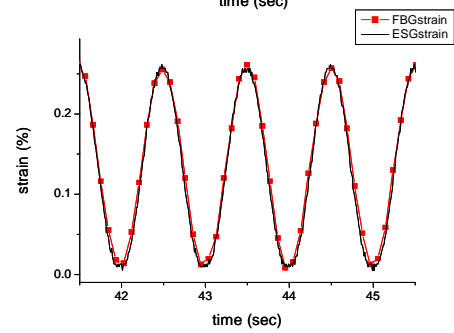
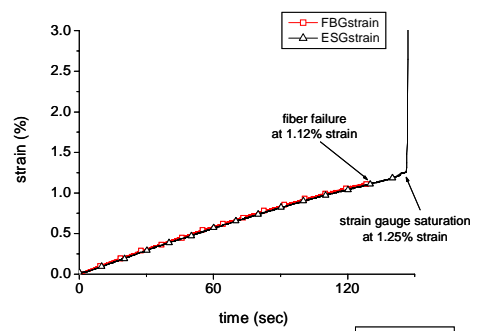
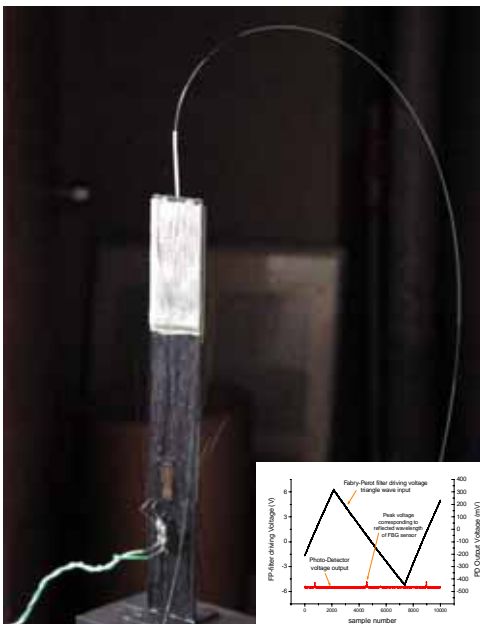
ASTM-D3039

[0<sub>10</sub>]<sub>T</sub>

가

가

1



7

1550nm  
 62.2  $\mu\epsilon$   
 C  
 0.31 %/V  
 20mV

$$C = \frac{1}{K} \frac{\Delta\lambda}{\Delta V} = \frac{1}{1-p_e} \frac{\Delta\lambda}{\Delta V} = 4.82 \text{ nm/V} \Rightarrow 0.31 \%/\text{V} \quad 4$$

### 3. I :

#### 3.1

가 , 가  
 가 가  
 Tsai - Wu .

$$\epsilon_x^0, \epsilon_y^0, \gamma_{xy}^0, \kappa_x, \kappa_y, \kappa_{xy} \quad 6$$

3

3

[20].

0 ,  $\kappa_x = \kappa_y = \kappa_{xy} = 0$  가

3

$$, \epsilon_x^0, \epsilon_y^0, \gamma_{xy}^0$$

가

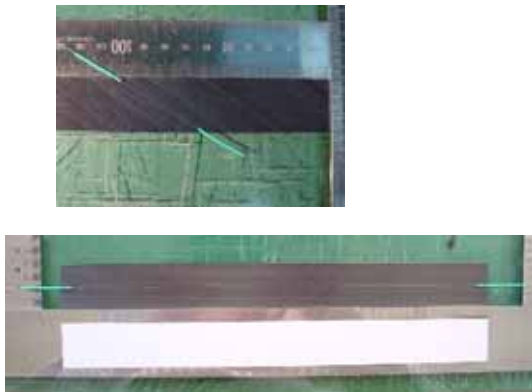
3

[10-12]

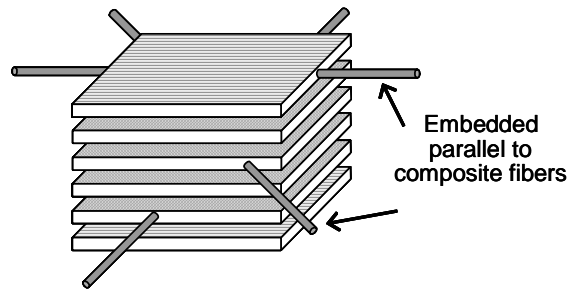
8

3





8



3

[0/ ± 30]<sub>s</sub> (SK SkyFlex, USN150BX) 4 0°, 30°, -30° 24 0.13mm 3mm  
 가 , 2 2 0°, 30°, -30° 4 가  
 0.25mm

3 FBG 가  
 ,  $\epsilon_1^0, \epsilon_1^{30}, \epsilon_1^{-30}$

(reduced stiffness)

FBG 가  
 가 가  
 가

5 [20].

$$\begin{Bmatrix} \epsilon_x \\ \epsilon_y \\ \gamma_{xy} \end{Bmatrix} = \begin{bmatrix} \cos^2 \theta & \sin^2 \theta & \cos \theta \sin \theta \\ \sin^2 \theta & \cos^2 \theta & -\cos \theta \sin \theta \\ -2\cos \theta \sin \theta & 2\cos \theta \sin \theta & \cos^2 \theta - \sin^2 \theta \end{bmatrix}^{-1} \begin{Bmatrix} \epsilon_1 \\ \epsilon_2 \\ \epsilon_6 \end{Bmatrix}^{(k)}$$

for the k-th ply of a laminate

5

1

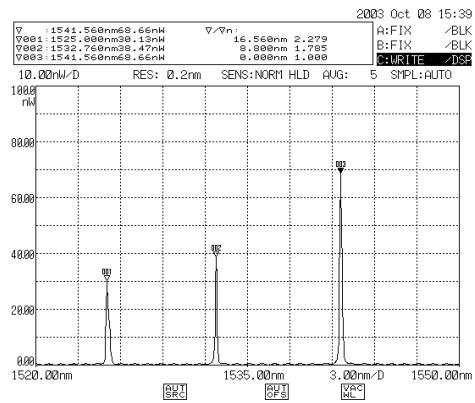
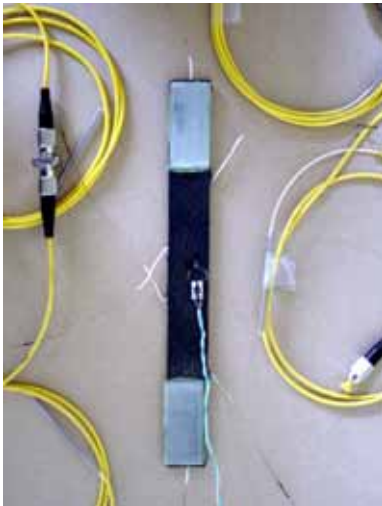
3 3  
6 0°, 30°, -30° 가  
 $\epsilon_x, \epsilon_y, \gamma_{xy}$

$$\begin{Bmatrix} \epsilon_1^0 \\ \epsilon_1^{30} \\ \epsilon_1^{-30} \end{Bmatrix} = \begin{bmatrix} \cos^2 0 & \sin^2 0 & \cos 0 \sin 0 \\ \cos^2 30 & \sin^2 30 & \cos 30 \sin 30 \\ \cos^2 -30 & \sin^2 -30 & \cos -30 \sin -30 \end{bmatrix} \begin{Bmatrix} \epsilon_x \\ \epsilon_y \\ \gamma_{xy} \end{Bmatrix} \quad 6$$

National Instrument LabVIEW  
National Instrument 12bit  
PCI-16E-4  
가 가  
(MTS-25ton)

ASTM-D3039 [0/±30]s

3 9



9 3 가 ([0/±30]s)

9 가  
(OSA, optical spectrum analyzer)

1525, 1533, 1541nm 8nm

3

가

0°

30°, -30°

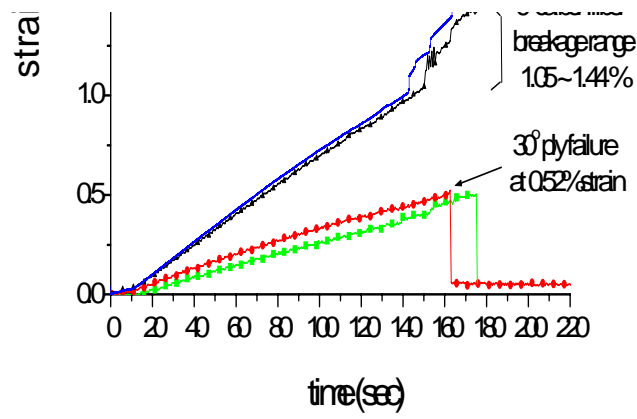
0°

3.2

/

가

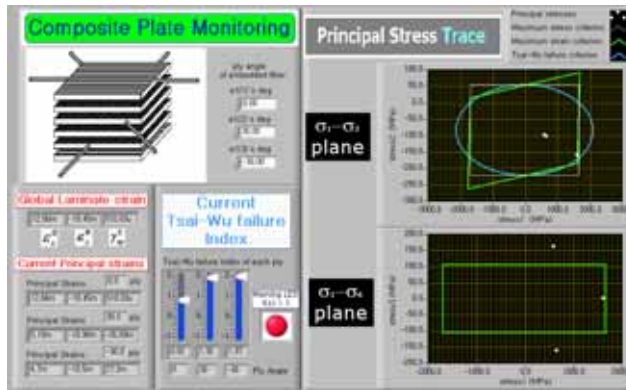
가



10 3

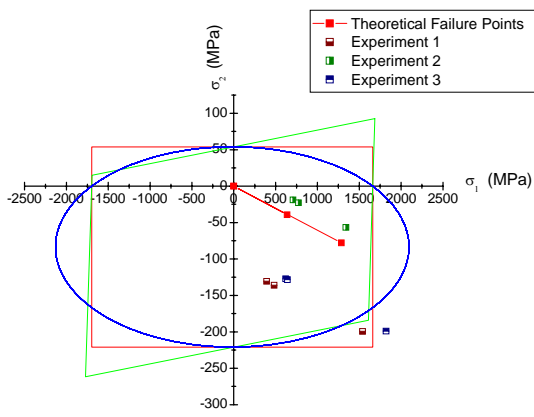
가



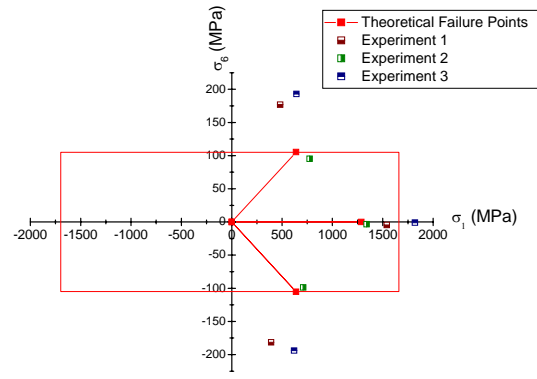


12

13



(a)  $\sigma_1 - \sigma_2$  plane



(b)  $\sigma_1 - \sigma_6$  plane

13

[0/±30]<sub>s</sub>

가

3

가

가

가 가

가

0°

30°

가

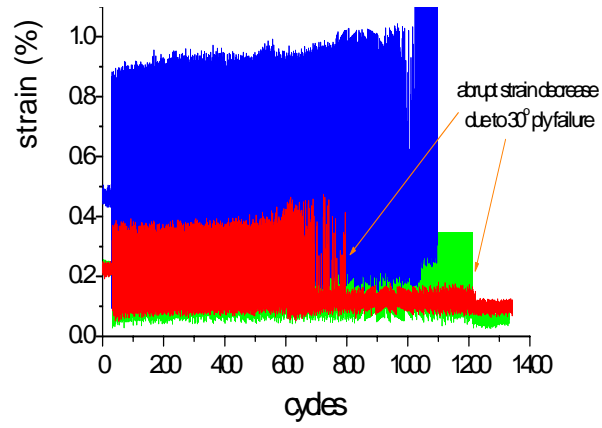
. 3

가 가 가 가 가  
 0° 1.2% 30° 0°  
 가 가

가 가  
 가 가

3.3

가 가  
 9 , P<sub>MAX</sub> , P<sub>UTS</sub> 0.9, 0.8, 0.7, 0.6  
 4 3Hz  
 14 0.8 , 1,200  
 15 0.6 ,  
 0.6 1,000,000  
 ASTM-D3479  
 0.1 가



14  $P_{MAX}=0.8P_{UTS}$

가 가

1,100 1.35%

0°

가 30° 1,100 가

2 30° 가

800, 1200

30° 가

30° 가 800 가 1,200

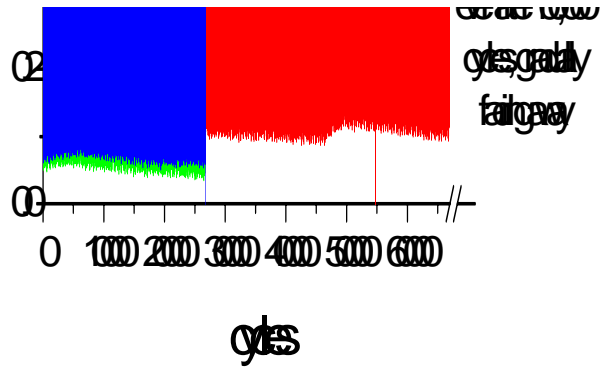
0° 1,000 가

1.4% 1,000 가

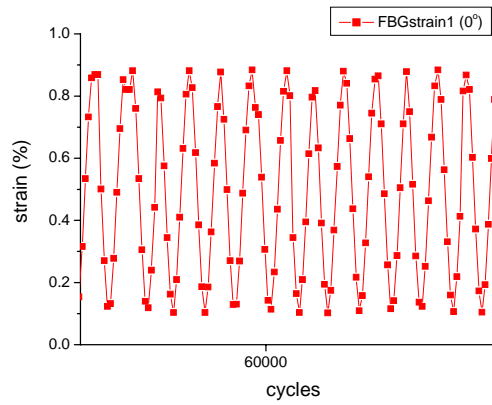
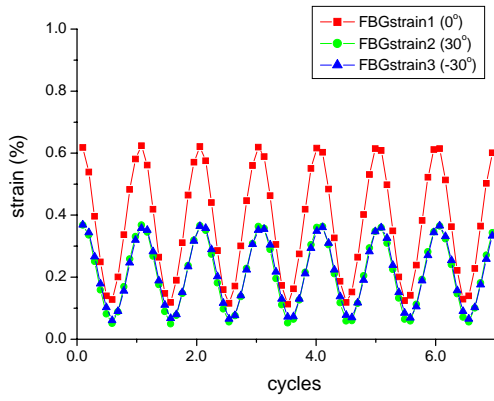
800 30° 가

가 가 가

가



15  $P_{MAX}=0.6P_{UTS}$

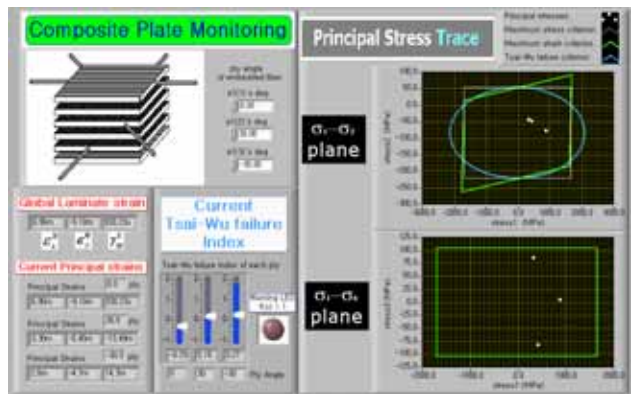


16  $P_{MAX}=0.6P_{UTS}$

15 16 0.6  
 가 . 3 가  
 가 . 60,000  
 30 ° , 0 °  
 26,500 . 30 °  
 30 ° 30 ° 가가  
 30 ° 가 0 °  
 . 0 ° 46,000 가  
 가 30 °

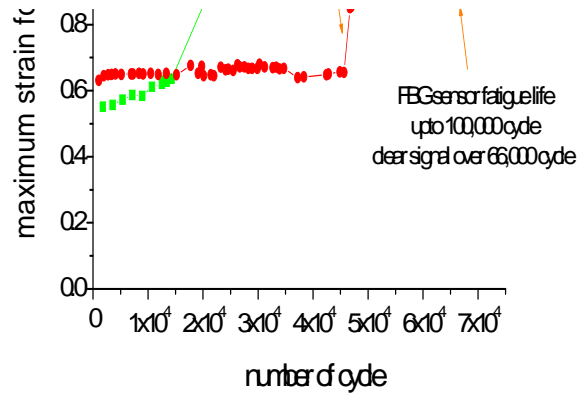


1,000,000  
66,000  
0° 30° 100,000  
가 가



17

가 17 가 가 가 가 가 가 가 가 가 가



18

18  
 가  
 10V  
 20,000  
 66,000  
 가  
 Takeda [21,22]  
 250 $\mu$ m  
 가  
 가

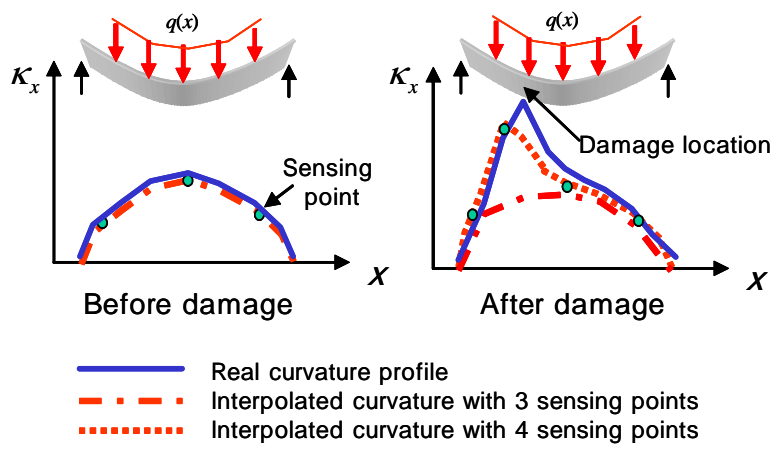
4. II :

4.1

[23-25] 가 가  
 가 가  
 [15]

가  
 가  
 가 . [23,25]

. [24,25]



19

19

가

가

가

가

가

가

가

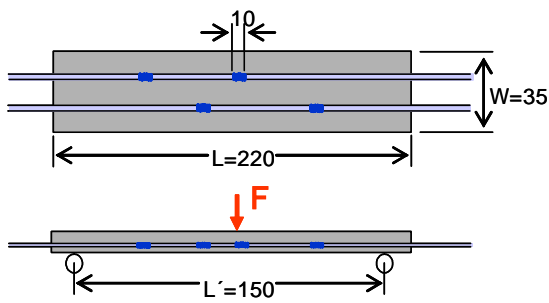
가

가

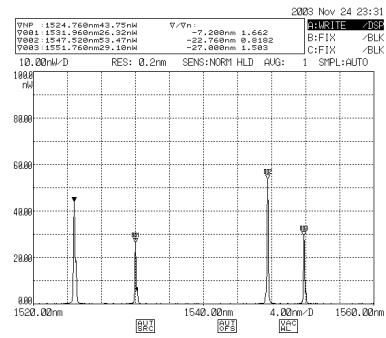
가

### 4.2

3 가 , 0 2 2 10mm/min 가 FBG 가 [0<sub>4</sub>/45<sub>4</sub>/-45<sub>4</sub>]<sub>s</sub> 0 가



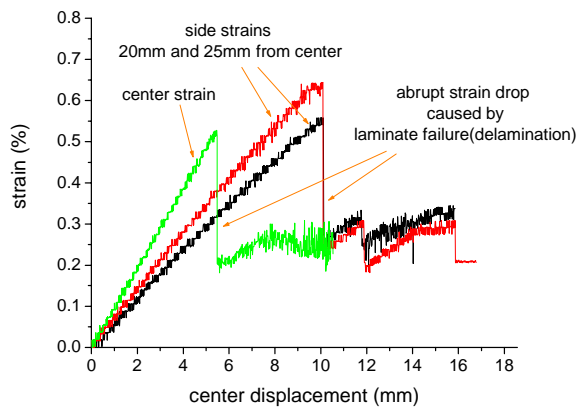
20 가



가

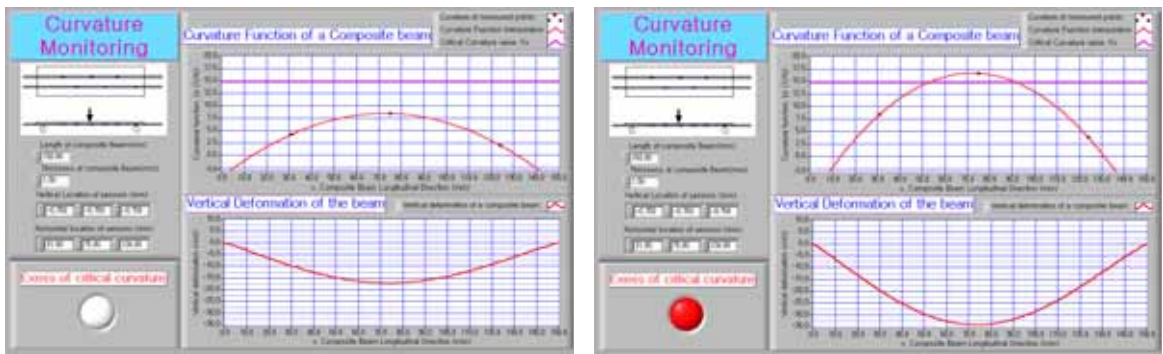
가

4 가 3 4 19 4 3 , 4 가



21 3

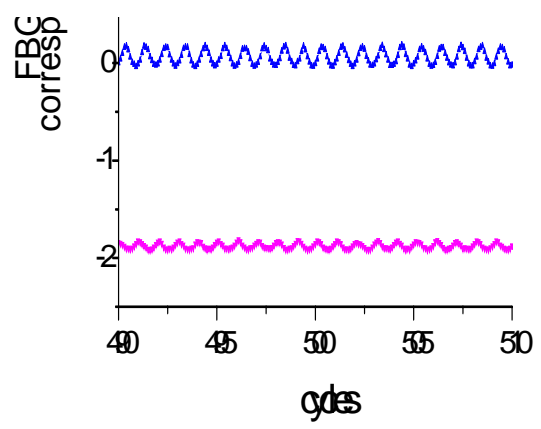
21 가 가 가 가  
 가 5.5mm 가 가  
 FBG 가 가  
 가 10mm 가  
 가 0.2%



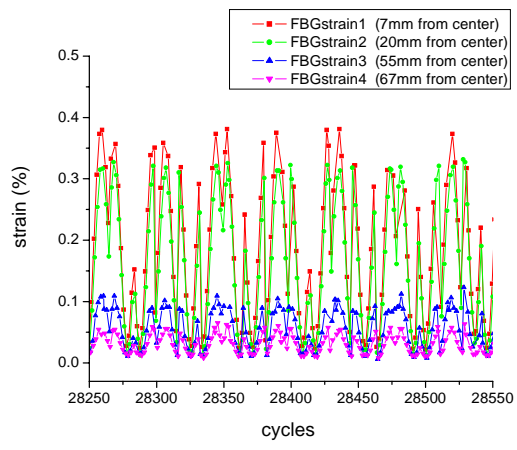
22

22 가 3 가

[0<sub>4</sub>/45<sub>4</sub>/-45<sub>4</sub>]<sub>s</sub> / MTS 0.8Hz  
 0.1 가 , , 23 24  
 8Hz A/D 28,000 4  
 가 가  
 24 28,000



23 4



24 4 28,000

가  
0.44%

25

. 4

가

. 3

가

가

95%

4

25

150

가

가

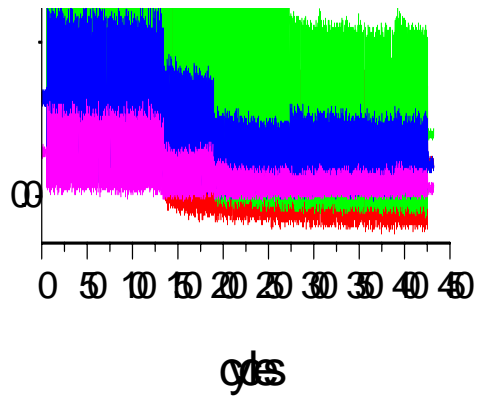
26

가

가

가

가



25

4



26

5.

- 3 . 가
- 가 2가
- 가 2가
- 가
- 1. 0° ( ) 1%
- 가
- 2. 30° 30°
- 3. 가
- 4. (0.6% 66,000 ) 가 가
- 5. 가



## 6.

- [1] J. M. Park, S. I. Lee, O. Y. Kwon, H. S. Choi and J. H. Lee, "Comparison of nondestructive microfailure evaluation of fiber-optic Bragg grating and acoustic emission piezoelectric sensors using fragmentation test," *Composites Part A* Vol. 34, 2003, pp. 203-216
- [2] S. M. Prasad, K. Balasubramaniam and C. V. Krishnamurthy, "Structural health monitoring of composite structures using Lamb wave tomography," *Smart Materials and Structures* vol. 13, 2004, pp. 73-79
- [3] K. Diamanti, J. M. Hodgkinson and C. Soutis, "Detection of Low-velocity Impact Damage in Composite Plates using Lamb Waves," *Structural Health Monitoring* Vol. 3, 2004, pp. 33-41
- [4] <http://techreports.larc.nasa.gov/ltrs/PDF/2001/mtg/NASA-2001-22sample-ceh.pdf>
- [5] <http://www.specialchem4adhesives.com/home/editorial.aspx?id=752>
- [6] <http://www.newairplane.com/en-US/Extras/TechnologySpotlight/composite.htm>
- [7] A. D. Kersey, T. A. Berkoff and W. W. Morey, "Multiplexed fiber Bragg grating strain-sensor system with a fiber Fabry-Perot wavelength filter," *Optics Letters* Vol. 18, No. 16, 1993, 1370-1372
- [8] N. Elvin and C. Leung, "Feasibility study of delamination detection with embedded optical fibers," *Journal of Intelligent Material Systems and Structures* Vol. 8, 1997, 824-828
- [9] , , , , " , 14 , 6 , 2001, pp. 32-37.
- [10] D. C. Lee, J. J. Lee and S. J. Yun, "The mechanical characteristics of smart composite structures with embedded optical fiber sensors," *Composite Structures* Vol. 32, 1995, pp. 39-50
- [11] , , , " , 8 , 2 , 1995, pp. 61-72.
- [12] T. S. Jang, J. J. Lee and D. C. Lee, "The mechanical behavior of optical fiber sensor embedded within the composite laminate," *Journal of Materials Science* Vol. 34, 1999, pp. 5853-5860.
- [13] R. M. Measures, Preface of special issue on Fiber Optic Structural Sensing, *Smart Materials and Structures* vol. 7, 1998, pp. 1
- [14] W. Pan, W. Tang and W. Zhou, "Fiber Bragg grating sensor for Smart Structures," *SPIE* Vol. 2895, pp. 166-170
- [15] M. D. Todd, G. A. Johnson, and S. T. Vohra, "Deployment of a fiber Bragg grating-based measurement system in a structural health monitoring application," *Smart Materials and Structures* Vol. 10, No. 3, 2001, pp. 534-539.
- [16] J. Leng and A. Asundi, "Structural health monitoring of smart composite materials by

- using EFPI and FBG Sensors," *Sensors and Actuators A* Vol. 103, 2003, pp. 330-340
- [17] J. R. Lee, C. Y. Ryu, B. Y. Koo, S. G. Kang, C. S. Chang and C. G. Kim, "In-flight health monitoring of a subscale wing using a fiber Bragg grating sensor system," *Smart Materials and Structures* Vol. 12, No. 1, 2003, pp. 147-155.
- [18] Y. Okabe, S. Yashiro, T. Kosaka and N. Takeda, "Detection of transverse cracks in CFRP composites using embedded fiber Bragg grating sensors," *Smart Materials and Structures* Vol. 9, 2000, pp. 832-838
- [19] <http://www.spa.com/HS-FOIS%20v4.pdf>
- [20] D. G. Lee, and N. P. Suh, *Axiomatic Design and Fabrication of Composite Structures*, Oxford Press
- [21] S. Takeda, Y. Okabe, N. Takeda, "Delamination detection in CFRP laminates with embedded small-diameter fiber Bragg grating sensors," *Composites Part A* Vol. 33, 2002, pp. 971-980
- [22] S. Takeda, Y. Okabe, T. Yamamoto, N. Takeda, "Detection of edge delamination in CFRP laminates under cyclic loading using small-diameter FBG sensors," *Composites Science and Technology* Vol. 63, 2003, 1885-1894
- [23] D. Inaudi, S. Vurpillot, N. Casanova, and P. Kronenberg, "Structural monitoring by curvature analysis using interferometric fiber optic sensors," *Smart Materials and Structures* Vol. 7, 1998, pp. 199-208
- [24] J. Leng, and A. Asundi, "Structural health monitoring of smart composite materials by using EFPI and FBG sensors," *Sensors and Actuators A: Physical* Vol. 103(2003), pp. 330-340
- [25] C. Abdunur, "Monitoring of Bridges subject to transversal cracks," *Proceedings of SPIE the international society for optical engineering* Vol. 2361, pp. 154, 1994